

## ПОДАВЛЕНИЕ СВЕРХПРОВОДИМОСТИ В БЛИЗИ ПЕРЕХОДА МЕТАЛЛ-ДИЭЛЕКТРИК В СИЛЬНО НЕУПОРЯДОЧЕННЫХ СИСТЕМАХ

Э. З. Кучинский, М. В. Садовский, М. А. Эркабаев

Институт электрофизики  
Уральского отделения Российской академии наук  
620049, Екатеринбург, Россия

Поступила в редакцию 24 октября 1996 г.

На основе предложенной ранее самосогласованной теории перехода металл-диэлектрик в сильно неупорядоченных системах, учитывающей эффекты межэлектронного взаимодействия, исследованы эффекты подавления температуры сверхпроводящего перехода  $T_c$  в широком интервале значений беспорядка — от слабо неупорядоченного металла до андерсоновского диэлектрика, — вызванные образованием «кулоновской псевдощели» в плотности состояний. Показано, что для целого ряда исследовавшихся систем предлагаемая теория дает удовлетворительное описание экспериментальных данных.

### 1. ВВЕДЕНИЕ

Проблема деградации температуры сверхпроводящего перехода в условиях сильного разупорядочения довольно давно привлекает внимание теоретиков [1]. Она тесно связана с вопросом о разрушении сверхпроводящего состояния вблизи вызываемого разупорядочением перехода металл-диэлектрик [2]. Предлагался целый ряд механизмов подавления  $T_c$ , таких как возрастание кулоновского псевдопотенциала [3, 4], влияние кулоновских поправок к плотности состояний [5] и т. п. В большинстве этих работ исследовались только малые поправки к  $T_c$  за счет этих механизмов.

Предложенная в работах авторов [6, 7] теория перехода металл-диэлектрик, обобщающая самосогласованную теорию локализации [8, 9] в направлении учета эффектов электрон-электронного взаимодействия, позволила исследовать поведение обобщенного коэффициента диффузии в широкой области изменения параметров системы как в металлической, так и в диэлектрической областях. При этом учитывалось существенное влияние электрон-электронного взаимодействия на обобщенный коэффициент диффузии. Эти результаты были использованы для исследования поведения одночастичной плотности состояний системы с учетом влияния эффектов электрон-электронного взаимодействия.

Результаты соответствующих расчетов демонстрируют образование и эволюцию «кулоновской псевдощели» в плотности состояний системы вблизи уровня Ферми. В металлической области поведение плотности состояний вблизи кулоновской псевдощели соответствует обычной корневой поправке Альтшулера-Аронова [10]. При приближении к переходу металл-диэлектрик с ростом параметра беспорядка глубина псевдощели растет, эффективная ширина области корневого поведения уменьшается и в точке перехода металл-диэлектрик плотность состояний на уровне Ферми обращается в нуль — образуется «кулоновская щель». В диэлектрической области для случая зоны конечной ширины в области «кулоновской щели» получается квадратичная зависимость

плотности состояний. Эффективная ширина соответствующей области увеличивается с ростом параметра беспорядка. Это напоминает известное поведение «кулоновской щели» Эфроса-Шкловского [11] в диэлектрической области достаточно далеко от точки перехода металл-диэлектрик. Подобное поведение плотности состояний качественно хорошо согласуется с экспериментами в ряде неупорядоченных систем вблизи перехода металл-диэлектрик [1] от аморфных сплавов [12-16] до неупорядоченных монокристаллов металлооксидов, включая высокотемпературные сверхпроводники [17].

В данной работе результаты расчетов плотности состояний системы для случая зоны конечной ширины используются для численного исследования влияния эффектов «кулоновской псевдощели» в плотности состояний на подавление сверхпроводимости вблизи перехода металл-диэлектрик.

Рассмотрение сверхпроводимости в сильно неупорядоченных системах будет проводиться в рамках простой модели БКШ. В приближении слабой связи линеаризованное уравнение для щели имеет следующий вид [2]:

$$\Delta(\xi) = - \int_{-\infty}^{\infty} d\xi' V(\xi, \xi') N(\xi') \frac{1}{2\xi'} \operatorname{th} \left( \frac{\xi'}{2T_c} \right) \Delta(\xi'). \quad (1)$$

Здесь  $N(\xi)$  — усредненная по реализациям беспорядка плотность состояний неупорядоченной системы с учетом влияния эффектов электрон-электронного взаимодействия,  $V(\xi, \xi')$  — потенциал эффективного взаимодействия. Единственное отличие от стандартного подхода состоит здесь в учете нетривиальной зависимости  $N(\xi)$  от энергии электрона  $\xi$ , отсчитанной от уровня Ферми  $E_F$ .

В теории БКШ предполагается существование эффективного электрон-электронного притяжения, которое определяется некоторым балансом между спариванием за счет электрон-фононного взаимодействия и кулоновским отталкиванием. В качестве потенциала эффективного взаимодействия будет рассматриваться

$$V(\xi, \xi') = V_c(\xi, \xi') + V_{ph}(\xi, \xi'), \quad (2)$$

где  $V_c(\xi, \xi') = V_c \theta(E_F - |\xi|) \theta(E_F - |\xi'|)$  и  $V_{ph}(\xi, \xi') = -V_{ph} \theta(\omega_D - |\xi|) \theta(\omega_D - |\xi'|)$  — потенциалы соответственно электрон-электронного и электрон-фононного взаимодействий,  $\omega_D$  — дебаевская частота. Константы  $V_c > 0$  и  $V_{ph} > 0$  соответствуют отталкиванию и притяжению, действующим в существенно различных интервалах энергий:  $E_F \gg \omega_D$ .

После подстановки этого выражения в уравнение (1) и преобразований с использованием четности щелевой функции  $\Delta(\xi)$  получим

$$\begin{aligned} \Delta(\xi) = & [V_{ph} \theta(\omega_D - \xi) - V_c \theta(E_F - \xi)] \int_0^{\omega_D} d\xi' N(\xi') \frac{1}{\xi'} \operatorname{th} \left( \frac{\xi'}{2T_c} \right) \Delta(\xi') - \\ & - V_c \theta(E_F - \xi) \int_{\omega_D}^{E_F} d\xi' N(\xi') \frac{1}{\xi'} \operatorname{th} \left( \frac{\xi'}{2T_c} \right) \Delta(\xi'). \end{aligned} \quad (3)$$

Решение этого уравнения будем, как обычно, искать в двухступенчатом виде [18]:

$$\Delta(\xi) = \begin{cases} \Delta_{ph}, & |\xi| < \omega_D, \\ \Delta_c, & \omega_D < |\xi| < E_F, \end{cases} \quad (4)$$

где  $\Delta_{ph}$ ,  $\Delta_c$  — некоторые константы, для определения которых после подстановки (4) в уравнение (3) имеем систему однородных уравнений следующего вида:

$$\left\{ 1 - (V_{ph} - V_c)N_0(0)K\left(\frac{\omega_D}{2T_c}\right) \right\} \Delta_{ph} + V_c N_0(0) \left[ K\left(\frac{E_F}{2T_c}\right) - K\left(\frac{\omega_D}{2T_c}\right) \right] \Delta_c = 0, \quad (5)$$

$$V_c N_0(0)K\left(\frac{\omega_D}{2T_c}\right) \Delta_{ph} + \left\{ 1 + V_c N_0(0) \left[ K\left(\frac{E_F}{2T_c}\right) - K\left(\frac{\omega_D}{2T_c}\right) \right] \right\} \Delta_c = 0.$$

Здесь  $N_0(0)$  — одночастичная плотность состояний невзаимодействующих электронов на уровне Ферми и введено обозначение

$$K(\xi) = \int_0^\xi d\xi' \frac{1}{\xi'} \operatorname{th} \xi' \left[ \frac{N(2T_c \xi')}{N_0(0)} \right]. \quad (6)$$

Условие разрешимости этой однородной системы уравнений представляет собой уравнение для определения  $T_c$ :

$$(\lambda - \mu^*)K\left(\frac{\omega_D}{2T_c}\right) = 1, \quad (7)$$

$$\mu^* = \mu \left\{ 1 + \mu \left[ K\left(\frac{E_F}{2T_c}\right) - K\left(\frac{\omega_D}{2T_c}\right) \right] \right\}^{-1},$$

где  $\mu^*$  — кулоновский псевдопотенциал,  $\mu = V_c N_0(0)$  — константа кулоновского отталкивания,  $\lambda = V_{ph} N_0(0)$  — константа спаривания за счет электрон-фононного взаимодействия. В чистом пределе, когда плотность состояний на уровне Ферми можно считать постоянной, отсюда следует обычное уравнение теории БКШ.

Уравнение (7) для определения  $T_c$  исследовалось численными методами для широкой области изменения параметров системы как в металлической, так и в диэлектрической областях. Плотность состояний системы вычислялась с учетом низших поправок по межэлектронному взаимодействию [6, 7]:

$$N(\xi) = -\frac{1}{\pi} \operatorname{Im} \int \frac{d^3 p}{(2\pi)^3} G^R(p, \xi), \quad (8)$$

где  $G^{R(A)}(p, \xi) = [\xi - \xi_p \pm i\gamma - \Sigma_{ee}^{R(A)}(p, \xi)]^{-1}$  — запаздывающая (опережающая) одночастичная функция Грина,  $\Sigma_{ee}^{R(A)}(p, \xi)$  — «фоковский» вклад в собственно-энергетическую часть [6, 10]:

$$\Sigma_{ee}^{R(A)}(p, \xi) \approx 4i\gamma^2 \mu N_0^{-1}(0) G_0^{A(R)}(p, \xi) \int\limits_\xi^\infty \frac{d\omega}{2\pi} \int\limits_{|\mathbf{q}| < k_0} \frac{d^3 q}{(2\pi)^3} \frac{1}{[-i\omega + D(\omega)q^2]^2}. \quad (9)$$

Здесь  $D(\omega)$  — обобщенный коэффициент диффузии, удовлетворяющий следующему самосогласованному нелинейному интегральному уравнению [6, 7]:

$$\frac{D(\omega)}{D_0} = 1 - \frac{1}{\pi N_0(0)} \frac{D(\omega)}{D_0} \int\limits_{|\mathbf{q}| < k_0} \frac{d^3 q}{(2\pi)^3} \frac{1}{-i\omega + D(\omega)q^2} +$$

$$+ \frac{8i}{3\pi} \frac{\mu D_0}{\pi N_0(0)} \int\limits_\omega^\infty d\Omega \int\limits_{|\mathbf{q}| < k_0} \frac{d^3 q}{(2\pi)^3} \frac{q^2}{(-i(\Omega + \omega) + D(\Omega + \omega)q^2)(-i\Omega + D(\Omega)q^2)^2}, \quad (10)$$

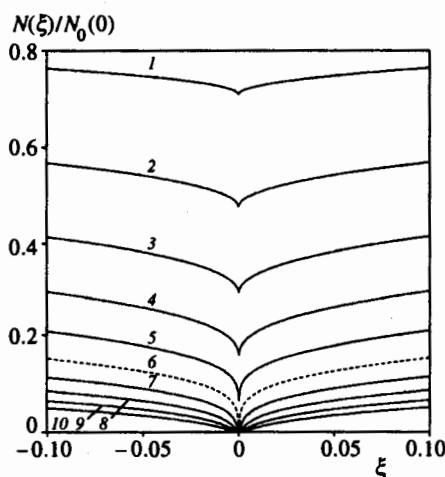


Рис. 1. Плотность состояний системы в случае зоны конечной ширины  $2E_F$  при  $(8/3\pi)\mu = 1.0$  для различных значений параметра беспорядка  $(p_F l)^{-1}$ : 1 — 0.1, ..., 5 — 0.5 — в металлической области, 6 — 0.7, ..., 10 — 1.0 — в диэлектрической области. Штриховая кривая 6 соответствует точке перехода металл-диэлектрик.

На графике энергия  $\epsilon$  в единицах  $D_0 k_0^2$

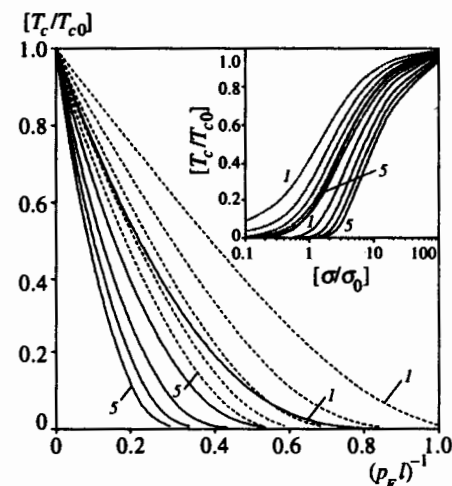


Рис. 2. Деградация  $T_c$  в зависимости от параметра беспорядка  $(p_F l)^{-1}$  при фиксированной константе спаривания  $\lambda$  ( $\lambda = 0.5$  — сплошные кривые,  $\lambda = 1.0$  — штриховые кривые) для различных значений константы кулоновского отталкивания  $(8/3\pi)\mu$ : 1 — 0.2, ..., 5 — 1.0. На вставке приведена зависимость  $T_c$  от статической проводимости системы  $\sigma$  для соответствующих значений констант спаривания  $\lambda$  и кулоновского отталкивания  $\mu$ .

где  $D_0 = E_F/3t\gamma$  — классический коэффициент диффузии,  $\gamma = 1/2\tau$  — борновское затухание,  $\tau$  — время свободного пробега,  $k_0 = \min\{p_F, l^{-1}\}$  — импульс обрезания,  $p_F$  — импульс Ферми,  $l$  — длина свободного пробега. Приводимые ниже данные по статической проводимости также были получены путем численного решения уравнения (10) [6, 7].

На рис. 1 представлено поведение плотности состояний системы вблизи уровня Ферми, демонстрирующее эволюцию «кулоновской псевдощели» с ростом параметра беспорядка. Именно такое поведение приводит к подавлению температуры сверхпроводящего перехода.

Графики на рис. 2 демонстрируют подавление  $T_c$  с ростом параметра беспорядка  $(p_F l)^{-1}$  для различных значений константы кулоновского отталкивания  $\mu$  при фиксированной константе спаривания  $\lambda$ . При больших  $\mu$  с ростом беспорядка  $(p_F l)^{-1}$  величина  $T_c$  быстро уменьшается и обращается в нуль в металлической области достаточно далеко от перехода металл-диэлектрик. С уменьшением  $\mu$  падение  $T_c$  с ростом беспорядка  $(p_F l)^{-1}$  замедляется, и при малых  $\mu$  и достаточно больших  $\lambda$  (штриховые кривые на рисунке) возникает возможность существования сверхпроводимости в диэлектрической области [2]. Последнее наглядно демонстрируют графики на вставке рис. 2, где приведены зависимости  $T_c$  от статической проводимости системы  $\sigma$  для соответствующих значений констант спаривания  $\lambda$  и кулоновского отталкивания  $\mu$ . При больших  $\mu$  с уменьшением проводимости  $\sigma$  величина  $T_c$  быстро уменьшается и сверхпро-

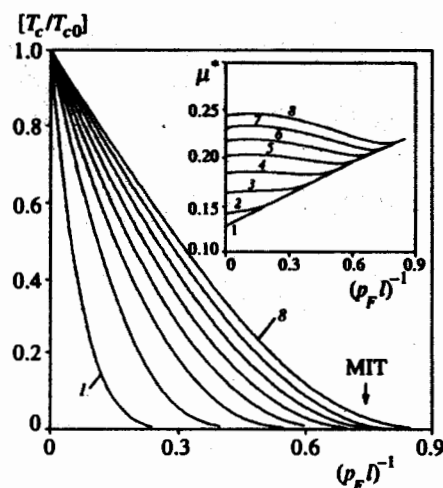


Рис. 3. Деградация  $T_c$  в зависимости от параметра беспорядка  $(p_F l)^{-1}$  при фиксированной константе кулоновского отталкивания  $(8/3\pi)\mu = 0.4$  для различных значений константы спаривания  $\lambda$ : 1 — 0.3, 2 — 0.4, ..., 8 — 1.0. На вставке приведена зависимость кулоновского псевдопотенциала  $\mu^*$  от параметра беспорядка  $(p_F l)^{-1}$  для соответствующих значений констант спаривания  $\lambda$  и кулоновского отталкивания  $\mu$ . Стрелкой показано положение точки перехода металл–диэлектрик  $\mu$

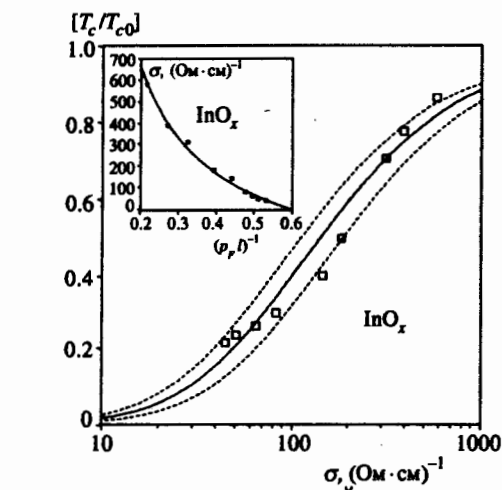
водимость подавляется в металлической области достаточно далеко от перехода металл–диэлектрик. С уменьшением  $\mu$  падение  $T_c$  замедляется с уменьшением проводимости  $\sigma$ , и при малых  $\mu$  и достаточно больших  $\lambda$  (штриховые кривые на вставке)  $T_c$  остается конечной в пределе  $\sigma \rightarrow 0$ .

Графики на рис. 3 демонстрируют деградацию  $T_c$  с ростом параметра беспорядка  $(p_F l)^{-1}$  для различных значений константы спаривания  $\lambda$  при фиксированной константе кулоновского отталкивания  $\mu$ . При малых  $\lambda$  с ростом беспорядка  $(p_F l)^{-1}$  величина  $T_c$  быстро уменьшается и обращается в нуль в металлической области достаточно далеко от перехода металл–диэлектрик. С увеличением  $\lambda$  уменьшение  $T_c$  с ростом беспорядка  $(p_F l)^{-1}$  замедляется и при достаточно больших  $\lambda$  сверхпроводимость подавляется только в диэлектрической области. Приведенные на вставке рис. 3 зависимости кулоновского псевдопотенциала  $\mu^*$  от параметра беспорядка  $(p_F l)^{-1}$  для соответствующих значений констант спаривания  $\lambda$  и кулоновского отталкивания  $\mu$  демонстрируют незначительное возрастание кулоновского псевдопотенциала  $\mu^*$  с ростом беспорядка  $(p_F l)^{-1}$  вблизи точки подавления сверхпроводимости. По-видимому, это достаточно естественно, поскольку различные процессы, перенормирующие матричный элемент кулоновского взаимодействия в (2) за счет влияния эффектов андерсоновской локализации и электрон–электронного взаимодействия и приводящие к существенному возрастанию кулоновского псевдопотенциала вблизи перехода металл–диэлектрик [2], в данном случае не рассматриваются.

Подобное поведение  $T_c$  в зависимости от статической проводимости  $\sigma$  и от параметра беспорядка наблюдалось экспериментально в ряде неупорядоченных систем, которые остаются сверхпроводящими вблизи вызванного разупорядочением перехода металл–диэлектрик [1, 2, 12–17, 19–21]. Результаты проведенных численных расчетов хорошо согласуются с экспериментами в аморфных сплавах  $InO_x$  [14],  $Nb_xSi_{1-x}$  [15, 16],  $Au_xSi_{1-x}$  [19–21].

В работе [14] были представлены результаты измерений параметра беспорядка  $(p_F l)^{-1}$  для аморфного сплава  $InO_x$ , а также данные для  $T_c$  и статической проводимости вблизи перехода металл–диэлектрик.

Согласно работам [6, 7] статическая проводимость системы вблизи перехода металл–



дизэлектрик имеет следующий вид:

$$\sigma = \sigma_0 [(p_F l) W_c(\mu) - 1]. \quad (11)$$

Здесь  $\sigma_0$  — некоторый характерный масштаб проводимости вблизи перехода металл–диэлектрик,  $W_c(\mu)$  — зависящий от константы кулоновского отталкивания параметр беспорядка, соответствующий переходу металл–диэлектрик.

Аппроксимация эксперимента для статической проводимости аморфного сплава  $\text{InO}_x$  формулой (11) позволяет оценить характерный масштаб проводимости  $\sigma_0$  и по величине  $W_c$  константу кулоновского отталкивания  $\mu$ . Удовлетворительные корреляции (см. вставку на рис. 3) получены для следующих значений параметров:  $\sigma_0 \simeq 324.95 \text{ (Ом} \cdot \text{см})^{-1}$ ,  $W_c \simeq 0.606$  и  $\mu \simeq 1.0$ .

На рис. 4 приведено сравнение наших результатов с экспериментальными данными для  $T_c$  в зависимости от статической проводимости  $\sigma$  аморфного сплава  $\text{InO}_x$  с использованием  $T_{c0} = 3.41 \text{ K}$ ,  $\omega_D = 112 \text{ K}$  и  $E_F = 9.98 \cdot 10^4 \text{ K}$ ,  $[\omega_D/E_F] \simeq 1.1 \cdot 10^{-3}$  для чистого In и полученных значений  $\sigma_0$  и  $\mu$ , что позволяет оценить константу спаривания  $\lambda$ . Удовлетворительная корреляция получена для  $\lambda \simeq 0.45$ . Штриховые кривые соответствуют значениям  $\lambda \simeq 0.4$  и  $0.5$ .

Рассмотрим результаты исследований зависимости  $T_c$  и статической проводимости от концентрации Si в аморфных сплавах  $\text{Nb}_x\text{Si}_{1-x}$  [15, 16] и  $\text{Au}_x\text{Si}_{1-x}$  [19–21] вблизи перехода металл–диэлектрик. Полагая для этих систем параметр беспорядка пропорциональным концентрации Si, так что  $(p_F l)^{-1} \sim 1 - x$ , уравнение (11) для статической проводимости вблизи перехода металл–диэлектрик преобразуем к виду

$$\sigma = \sigma_0 \frac{x - x_c}{1 - x}, \quad (12)$$

где  $x_c$  — критическая концентрация (соответственно Nb или Au) в точке перехода металл–диэлектрик.

Аппроксимация эксперимента для статической проводимости аморфных сплавов  $\text{Nb}_x\text{Si}_{1-x}$  и  $\text{Au}_x\text{Si}_{1-x}$  формулой (12) позволяет оценить характерный масштаб проводимости  $\sigma_0$  и критическую концентрацию  $x_c$ . Удовлетворительные корреляции (см. вставки на рис. 5 и рис. 6) получены для следующих значений параметров:

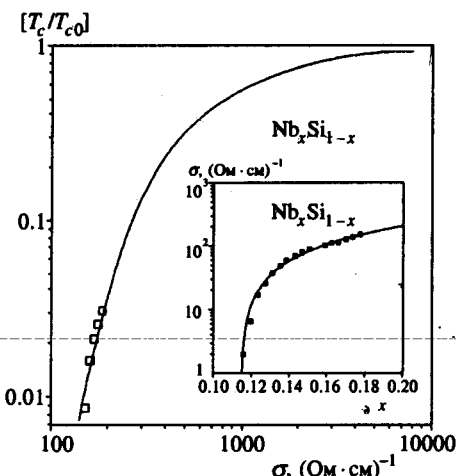


Рис. 5. Поведение  $T_c$  в зависимости от статической проводимости  $\sigma$  для аморфного сплава  $Nb_xSi_{1-x}$ . На вставке приведены результаты аппроксимации данных для статической проводимости  $\sigma$  в зависимости от концентрации Nb

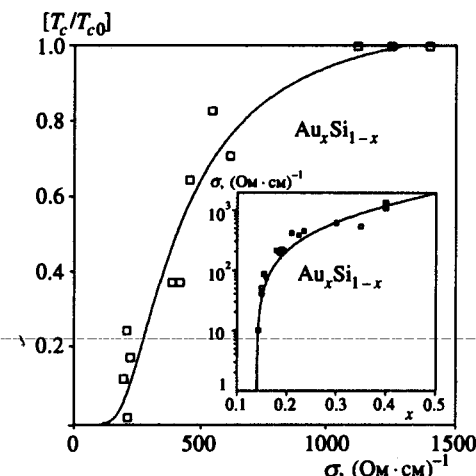


Рис. 6. Поведение  $T_c$  в зависимости от статической проводимости  $\sigma$  для аморфного сплава  $Au_xSi_{1-x}$ . На вставке приведены результаты аппроксимации данных для статической проводимости  $\sigma$  в зависимости от концентрации Au

$$Nb_xSi_{1-x} : \sigma_0 \simeq 1963.9 \text{ (Ом} \cdot \text{см)}^{-1}, \quad x_c \simeq 0.115;$$

$$Au_xSi_{1-x} : \sigma_0 \simeq 2782.13 \text{ (Ом} \cdot \text{см)}^{-1}, \quad x_c \simeq 0.14.$$

Графики на рис. 5 и рис. 6 демонстрируют сравнение наших результатов с экспериментальными данными для  $T_c$  в зависимости от статической проводимости  $\sigma$  в аморфных сплавах  $Nb_xSi_{1-x}$  и  $Au_xSi_{1-x}$  с использованием полученных значений  $\sigma_0$  и следующих значений параметров:  $T_{c0} = 9.26$  К,  $\omega_D = 276$  К и  $E_F = 6.18 \cdot 10^4$  К,  $[\omega_D/E_F] \simeq 3.0 \cdot 10^{-3}$  для чистого Nb;  $T_{c0} = T_{cmax} \simeq 0.86$  К,  $\omega_D = 170$  К и  $E_F = 6.42 \cdot 10^4$  К,  $[\omega_D/E_F] \simeq 0.9 \cdot 10^{-3}$  для  $Au_xSi_{1-x}$ ; это сравнение позволяет оценить константу спаривания  $\lambda$ . Полагая для этих систем константу кулоновского отталкивания  $\mu \simeq 1$ , удовлетворительную корреляцию можно получить для  $Nb_xSi_{1-x}$  при  $\lambda \simeq 0.54$  и для  $Au_xSi_{1-x}$  при  $\lambda \simeq 0.62$ .

Разумеется, проведенные вычисления, основанные на модели БКШ, являются чрезмерно упрощенными. Последовательный подход к проблеме вычисления температуры сверхпроводящего перехода должен быть основан на решении уравнений Элиашберга и использовании реалистических моделей электрон-электронного взаимодействия [18]. Особенно это касается приведенных выше результатов для достаточно больших значений константы спаривания  $\lambda$ , демонстрирующих возможность существования сверхпроводимости в диэлектрической области. В то же время в настоящей работе мы не задавались вопросом о генезисе исходной  $T_{c0}$  в чистой системе, а занимались лишь вопросом о зависимости  $T_c$  от беспорядка. В этом смысле результаты могут оказаться качественно применимыми и в области сильной связи. Отметим, что необходим еще и более последовательный учет эффектов беспорядка в матричном элементе кулоновского взаимодействия, с которым связан дополнительный механизм деградации  $T_c$  [2-4]. Как уже отмечалось выше, в данной работе учитывались только эффекты образования

«кулоновской псевдоцели» в плотности состояний. Возможно, что полученное выше удовлетворительное согласие с экспериментом указывает на доминирующую роль эффектов изменения плотности состояний в механизме деградации  $T_c$ , что отмечалось (на уровне малых поправок) еще в работе [5].

Работа выполнена при частичной финансовой поддержке Российского фонда фундаментальных исследований (грант 96-02-16065), а также в рамках проекта IX.1 программы «Статистическая физика» ГКНТ России.

## Литература

1. D. Belitz and T. R. Kirkpatrick, Rev. Mod. Phys. **66**, 261 (1994).
2. М. В. Садовский, СФХТ **8**, 337 (1995); submitted to Physics Reports (1996).
3. P. W. Anderson, K. A. Muttalib, and T. V. Ramakrishnan, Phys. Rev. B **28**, 117 (1983).
4. L. N. Bulaevskii and M. V. Sadovskii, J. Low-Temp. Phys. **59**, 89 (1985).
5. D. Belitz et al., Phys. Rev. B **40**, 111 (1989).
6. Э. З. Кучинский, М. В. Садовский, В. Г. Суворов, М. А. Эркабаев, ЖЭТФ **107**, 2027 (1995).
7. Э. З. Кучинский, М. А. Эркабаев, ФТТ **39**, 412 (1997).
8. D. Vollhardt and P. Wolfle, in *Electronic Phase Transitions*, ed. by W. Hanke and Yu. Kopaev, North-Holland, Amsterdam (1992), p. 1.
9. M. V. Sadovskii, Sci. Rev. Phys. A **7**, 1 (1986).
10. Б. Л. Альтшуллер, А. Г. Аронов, ЖЭТФ **77**, 2028 (1979).
11. A. L. Efros and B. I. Shklovskii, in *Electron-Electron Interaction in Disordered Systems*, ed. by M. Pollak and A. L. Efros, Nort-Holland, Amsterdam (1984), p. 409.
12. W. L. McMillan and J. Mochel, Phys. Rev. Lett. **46**, 556 (1981).
13. Y. Imry and Z. Ovadyahu, Z. Phys. Rev. Lett. **49**, 841 (1982).
14. A. T. Fiory and A. F. Hebard, Phys. Rev. Lett. **52**, 2057 (1984).
15. G. Hertel, D. J. Bishop, E. G. Spencer, J. M. Rowel, and R. C. Dynes, Phys. Rev. Lett. **50**, 743 (1983).
16. D. J. Bishop, E. G. Spencer, and R. C. Dynes, Sol. Stat. Elect. **28**, 73 (1985).
17. H. Srikanth, K. P. Rajeev, G. V. Shivashankar, and A. K. Raychaudhuri, Physica C **195**, 87 (1992).
18. С. В. Вонсовский, Ю. А. Изюмов, Э. З. Курмаев, *Сверхпроводимость переходных металлов, их сплавов и соединений*, Наука, Москва (1997).
19. N. Nishida, M. Yamaguchi, T. Furubayashi, M. Morigaki, H. Ishimoto, and K. Ono, Sol. Stat. Comm. **44**, 305 (1982).
20. T. Furubayashi, N. Nishida, M. Yamaguchi, M. Morigaki, and H. Ishimoto, Sol. Stat. Comm. **55**, 513 (1985).
21. N. Nishida, T. Furubayashi, M. Yamaguchi, M. Morigaki, and H. Ishimoto, Sol. Stat. Elect. **28**, 81 (1985).